

鲁西南莱芜地区 下古生界碳酸盐岩储集性能初步探讨

周超然 邵俊林

(地质矿产部华北石油地质局)

笔者对莱芜地区下古生界碳酸盐岩作了岩石薄片鉴定、铸体薄片观察、压汞法孔隙结构分析、煤油饱和法孔隙度测定及气体渗透率测定。根据这些分析资料, 对下古生界碳酸盐岩的储集性能进行了探讨, 现简述如下。

莱芜剖面下古生界碳酸盐岩储集空间类型及特征表 表1

空间类型		孔径 (mm)	岩 性	层 位	特 征
孔隙型	溶 孔	0.1-2	结晶泥质灰岩 细晶云岩	ϵ_1, o_1	连通性较好
	晶间孔	0.02-0.2	白云岩、云灰岩	$\epsilon_1x, \epsilon_1f, o_1y, o_1l$	孔隙大小受晶体大小及排列方式控制
	晶间溶孔	0.03-0.4	粉—细晶白云岩	ϵ_1f, o_1y, o_1l	晶间孔溶蚀扩大
	晶内溶孔	0.06±	细晶白云岩	o_1y, o_1l	发育在白云石晶体中
	粒间溶孔	0.1-1	生物灰岩 鲕粒灰岩	ϵ_2z, o_2s_2	溶孔沿生物碎屑或颗粒边缘分布
	粒内溶孔	0.06-0.1	砂屑灰岩	o_2f_2	颗粒、砂屑、生屑选择性溶解
裂隙型	白云石 铸模孔	0.04-0.05	泥晶灰岩 次生粉晶灰岩	o_2s_2	由菱形白云石晶体全部溶解而成
	构造裂隙	0.01-0.03	细晶云岩、泥晶灰岩、颗粒灰岩	o	沿晶体边缘延伸, 呈X型或雁行排列
	层间裂隙	0.02	泥晶灰岩 纹层状灰云岩	ϵ_1m, o_2f	受后期溶蚀被方解石泥质充填
	成岩裂隙	0.01	泥晶生屑灰岩 泥晶砂屑灰岩	ϵ_2z	沿颗粒边缘延伸, 无一定方向
	溶解缝	0.02-0.06	叠层石灰云岩 微层状泥灰岩	$\epsilon_2z, \epsilon_1c, \epsilon_1f, o_2x$	缝壁不平形状弯曲
	晶间缝 及解理缝		细—中晶白云岩	ϵ_1f	相互连通或网格状
	缝合线		泥晶灰岩、泥晶砂屑灰岩、细晶云岩	o_1y, o_2x_2, o_2s_2	围绕晶体边缘呈锯齿状

一、储集空间类型及特征

通过铸体薄片的镜下观察，寒武系的储集空间类型以次生孔隙为主。奥陶系以构造裂隙为主，原生孔隙不发育。其主要空间类型见表1。

二、剖面储集性简述

辛集组 (ϵ_1x)：中部第13层（剖面层号下同），为微晶球粒泥质云岩和粉—细晶白云岩，发育有溶蚀孔隙、晶间孔隙和构造裂隙。在微晶球粒泥质云岩中，溶蚀孔隙大部未充填，成层密集带状分布，连通较好，铸体面孔率为0.33%，孔隙度21.95%，渗透率3.27毫达西，主要孔喉半径0.04—0.4微米；粉—细晶白云岩中，晶间孔隙大部为硅质和方解石及泥质充填，未被充填部分，经铸体薄片鉴定（图版Ⅲ—1），铸体面孔率为0.19%，孔隙度5.27%，渗透率小于0.1毫达西。

馒头组 (ϵ_1m)：中部第28层为次生粉晶含泥灰岩。由于去白云石化和溶蚀作用，溶蚀孔隙和白云石菱形铸模孔较为发育（图版Ⅲ—3）。溶蚀孔隙大部未充填，连通较好，铸体面孔率约2.14%，孔隙度28.14%，渗透率19.22毫达西，主要孔喉半径0.4—4微米，为较好储集层段。下部第22层纹层状灰云岩中，发育有层间裂隙和构造裂隙。裂隙密度188条/米，裂隙孔隙率0.09%，裂隙渗透率10.14毫达西。孔隙度1.68%，渗透率小于0.1毫达西（图版Ⅲ—2）。

张夏组 (ϵ_2z)：本组为泥晶鲕粒灰岩和生物灰岩，粒间孔隙均为泥晶方解石和亮晶方解石充填，孔隙不发育。下部第56层鲕粒灰岩中见有少量粒间溶孔（图版Ⅲ—4），铸体面孔率0.35%，孔隙度0.81%，渗透率小于0.1毫达西，主要孔喉半径0.04~2.5微米。中部第64层生物灰岩和上部第71层藻灰岩中，发育有成岩裂隙和构造裂隙，大部为泥质充填，少数半充填。其物性参数：第64层孔隙度1.00%，渗透率0.17毫达西，裂隙密度62条/米，裂隙孔隙率0.05%，裂隙渗透率4.75毫达西；第71层孔隙度1.26%，渗透率小于0.1毫达西，裂隙密度32条/米，裂隙孔隙率0.02%，裂隙渗透率0.61毫达西。

长山组 (ϵ_3c)：底部第94层生物灰岩中，晶间孔、晶间溶孔、生物介屑内溶孔及溶解缝发育（图版Ⅲ—5），为溶蚀孔隙型储集层，铸体面孔率0.21%，孔隙度3.96%，渗透率33.23毫达西，最大孔喉半径0.63~10微米。中部和上部孔隙不发育。

凤山组 (ϵ_3f)：本组底部和下部孔隙不发育。中上部第127、128、129层细~中晶白云岩中，晶间孔、晶间溶孔、溶解缝发育（图版Ⅲ—6），连通性较好，其铸体面孔率0.03~0.43%，孔隙度1.63~6.1%，渗透率0.34~4.05毫达西，最大孔喉半径0.4~4微米。上部构造缝和缝合线发育，但均为方解石全充填或泥质、铁质半充填，孔隙不发育。

冶里组 (O_4y)：上部第2层细晶白云岩中，构造裂隙和缝合线发育（图版Ⅳ—1），大部分为方解石和泥、铁质充填，少部分未充填和半充填。白云石晶间见有少量晶间孔和晶间溶孔，分布不均匀，连通性不好，铸体面孔率0.14%，孔隙度2.28%，渗透率小

于0.1毫达西，裂隙密度112条/米，裂隙孔隙率0.12%，裂隙渗透率81.57毫达西，最大孔喉半径0.04~1微米。

亮甲山组(O₁)：本组细晶白云岩微裂隙发育（主要是构造张性裂隙），但均为方解石及泥质、铁质充填，沿裂隙发育有溶孔，大部也为硅质及方解石充填或半充填。铸体面孔率0.06%，孔隙度8.95%，渗透率小于0.1毫达西，最大孔喉半径0.4~2.5微米。

下马家沟组一段(O₂x¹)：底部第4层和顶部第11层粉晶灰岩和细晶灰岩，由于淋滤溶蚀作用，溶孔和溶解缝发育（图版IV—2、3）。溶解缝纵横交错成网格状，方解石充填。溶孔顺层分布，连通性较好，大部未充填或半充填。其物性参数：第4层铸体面孔率0.97%，孔隙度10.88%，渗透率小于0.1毫达西，最大孔喉半径0.04~0.25微米；第11层铸体面孔率0.62%，孔隙度5.54%，渗透率小于0.1毫达西。中部第7层泥晶灰岩，构造裂隙发育，但均为方解石充填，孔隙不发育。

下马家沟组二段(O₂x²)：本段岩性以泥晶灰岩为主，构造裂隙和缝合线发育，均为方解石和泥、铁质充填。下部第12层和上部第38层泥晶灰岩方解石脉中见有少量溶孔。第12层铸体面孔率为0.01%，孔隙度0.28%，渗透率小于0.1毫达西；第38层铸体面孔率0.03%，孔隙度2.52%，渗透率小于0.1毫达西，本层泥晶灰岩中还见有未充填的溶解缝，其裂隙密度125条/米，裂隙孔隙率0.1%，裂隙渗透率33.8毫达西。中部第36层泥晶灰岩中，见有缝合线半充填，裂隙密度65条/米，裂隙孔隙率0.03%，裂隙渗透率0.51毫达西，孔隙度1.93%，渗透率0.92毫达西。

上马家沟组一段(O₂s¹)：本段构造裂隙发育、方解石全充填。其它孔隙不发育。

上马家沟组二段(O₂s²)：下部第66层，中下部第77层和中部第89层泥晶灰岩和泥晶砂屑灰岩中，缝合线、层间裂隙和成岩裂隙发育，泥铁质充填或半充填，沿裂隙见有白云石菱面体铸模孔（图版IV—4）。其各项物性参数：第66层铸体面孔率0.06%，孔隙度0.72%，渗透率小于0.1毫达西；第89层铸体面孔率0.02%，孔隙度1.08%，渗透率小于0.1毫达西，裂隙密度25条/米，裂隙孔隙率0.02%，裂隙渗透率6.76毫达西；上部第100层豹斑亮晶砂屑灰岩中溶孔发育（图版IV—5），成层分布，相互连通，构造裂隙也较发育（方解石充填），其铸体面孔率0.25%，孔隙度2.8%，渗透率小于0.1毫达西，最大孔喉半径0.04~0.16微米。

峰峰组一段(O₂f¹)：本段岩性以粉晶白云岩为主。白云石晶间孔隙和晶间溶孔均为方解石、泥质、铁质充填。构造裂隙和层间裂隙也较发育，方解石、铁质全充填。未见有铸体能注入的敞开孔隙。

峰峰组二段(O₂f²)：本段底部和顶部以溶蚀型孔隙为主，中部和上部以裂隙型为主。在底部（第136层）层纹石白云岩和顶部（第154层）泥晶砂屑含云灰岩中，发育有白云石晶间孔、晶间溶孔和粒内溶孔（图版IV—6）。溶孔成层分布，连通较好，其物性参数：第136层铸体面孔率0.06%，孔隙度4.05%，渗透率小于0.1毫达西；第154层铸体面孔率0.65%，孔隙度2.90%，渗透率小于0.1毫达西，最大孔喉半径0.04~0.16微米。中部第146层亮晶球粒灰岩和上部第149层泥晶灰岩中构造裂隙及层间裂隙发育，

度1.38%，渗透率小于0.1毫达西，裂隙密度27条/米，裂隙孔隙率0.02%，裂隙渗透率7.93毫达西；第149层孔隙度1.8%，渗透率0.19毫达西，裂隙密度240条/米，裂隙孔隙率0.09%，裂隙渗透率7.61毫达西。

三、有利储集层段的选定

根据铸体薄片镜下观察和统计结果，结合部分压汞法孔隙结构资料和孔、渗资料，将本剖面有利储集层段的资料列于表2（表中铸体薄片资料是在 150kg/cm^2 压力下注入铸体后获得的）。其中，铸体面孔率（M_铸）是指注入未充填孔、缝、洞的铸体面积所占薄片面积（S）的百分比。裂隙密度（T = A × $\frac{L}{S} \times 100$ 条/米）、裂隙孔隙率（MT = B × $\frac{b \times L}{S} \times 100\%$ ）和裂隙渗透率（KT = C × b² × MT × 10³MD）是根据铸体注入未充填裂隙的平均宽度（b）和长度（L）按公式计算出来的（校正系数A = 1.57，B = 0.637，C = 8.45 × 10⁶）。根据国外资料和兄弟单位经验，可将储集层分为三级。划分等级标准（未考虑地质资料）如下：

I 级（有效的储集层）：压汞法主要孔喉半径为1.4—7.5微米，孔隙度一般大于4.5%，铸体面孔率为1.5—6%，裂隙密度大于100条/米，裂隙孔隙率大于0.5%，裂隙渗透率大于50毫达西。

II 级（较有效的储集层）：压汞法主要孔喉半径为1—1.4微米，孔隙度一般为2.5—4.5%，铸体面孔率0.5—1.5%，裂隙密度为50—100条/米，裂隙孔隙率0.1—0.5%，裂隙渗透率25—50毫达西。

III 级（较差的储集层）：压汞法主要孔喉半径一般小于1微米，孔隙度一般也小于2.5%，铸体面孔率小于0.5%，裂隙密度小于50条/米，裂隙孔隙率小于0.1%，裂隙渗透率5—25毫达西。

从表2可知，I 级有效的储集层有下寒武统馒头组第28层。II 级较有效的储集层有下寒武统辛集组第13层，中寒武统张夏组第56层，上寒武统长山组第94层、凤山组第129层，下奥陶统冶里组第2层、亮甲山组第3层，中奥陶统下马家沟组一段第4、11层，下马家沟组二段第38层。III 级较差的储集层有下寒武统馒头组第22层，中寒武统张夏组第64、71层，上寒武统凤山组第107、127层，中奥陶统下马家沟组二段第36层，上马家沟组二段第66、89、100层，峰峰组二段第136、146、149、154层。

四、几点认识

1. 铸体薄片镜下观察和其它物性资料表明，莱芜剖面下古生界碳酸盐岩有利的储集层段约有20余层，累计厚度150余米，约占总厚10%左右。其中寒武系以溶蚀型储集层为主，奥陶系以裂隙—溶蚀型储集层为主。

2. 莱芜剖面下古生界碳酸盐岩主要的储集空间类型有十二种，即溶孔、晶间溶孔、

莱芜剖面下古生界碳酸盐岩有利储集层段资料表 表 2

层位	储集类型	M _{煤油} (%)	K (md)	M _铸 (%)	T (条/米)	MT (%)	KT (md)	r _主 (微米)	储集性能
E ₁ m (28层)	溶孔	28.14	19.22	2.14				0.4~4	I 级有效储层
E ₁ x (13层)	溶孔	21.95	3.27	0.33				0.04~0.4	
E ₂ z (56层)	粒间溶孔 溶解缝	0.81	<0.1	0.35	75	0.09	103.72	0.04~2.5	
E ₂ c (94层)	晶间孔、溶孔、溶解缝	3.96	33.23	0.21	216	0.18	60.84	0.63~10	
E ₃ f (129层)	晶间孔 溶孔	6.10	4.05	0.43				0.4~4	
O ₁ y (2层)	晶间孔 构造缝	2.28	<0.1	0.14	112	0.12	81.5	0.04~1	II 级较有效储层
O ₁ l (3层)	晶间孔 溶孔	8.95	<0.1	0.06				0.4~2.5	
O ₂ x ₁ (4层)	溶孔	10.88	<0.1	0.97				0.04~0.25	
O ₂ x ₁ (11层)	溶孔	5.54	<0.1	0.62					
O ₂ x ₂ (38层)	溶解缝	2.52	<0.1		125	0.10	33.8		
E ₁ m (22层)	层间裂隙	1.68	<0.1		188	0.09	10.14		
E ₂ z (64层)	成岩裂隙	1.0	0.17		62	0.05	4.75		
E ₂ z (71层)	构造裂隙 溶孔	1.26	<0.1	0.02	32	0.02	0.61		
E ₃ f (107层)	晶间孔	2.45	<0.1	0.05					
E ₃ f (127层)	晶间孔 溶解缝	1.63	0.34	0.03	53	0.02	5.24		
O ₂ x ₂ (36层)	构造缝	1.93	0.92		65	0.03	0.51		
O ₂ s ₁ (66层)	白云石铸模孔	0.72	<0.1	0.06					III 级较差储层
O ₂ s ₂ (89层)	构造裂隙	1.08	<0.1	0.02	25	0.02	6.76		
O ₂ s ₂ (100层)	溶孔	2.80	<0.1	0.25				0.04~0.16	
O ₂ f ₂ (136层)	晶间孔 晶间溶孔	4.05	<0.1	0.06					
O ₂ f ₂ (146层)	构造缝	1.38	<0.1	0.02	27	0.02	7.93		
O ₂ f ₁ (149层)	层间裂隙	1.80	0.19		240	0.09	7.61		
O ₂ f ₁ (154层)	溶孔	2.90	<0.1	0.65				0.04~0.16	

M_{煤油}: 表示煤油法孔隙度 K: 表示气体渗透率 M_铸: 表示铸体面孔率 T: 表示裂隙密度
 MT: 表示裂隙孔隙率 KT: 表示裂隙渗透率 r_主: 表示主要孔喉半径

晶内溶孔、粒间溶孔、粒内溶孔、白云石铸模孔、晶间孔、构造裂隙、层间裂隙、成岩裂隙、溶解缝、缝合线等。其中以溶蚀孔隙、构造裂隙为主，前者多未充填，后者多被

充填。

3. 溶蚀孔隙和裂隙的发育与古侵蚀面(或古风化带)有密切关系。在古侵蚀面附近,溶蚀孔隙和裂隙均较发育,常具有一个溶蚀孔、洞、缝发育的次生孔隙带。本剖面自下而上可划分出六个次生孔隙带。

第一次生孔隙带：由下寒武统辛集组中上部和馒头组中下部溶蚀型储层组成。岩性主要是白云岩、粉晶灰岩等。岩石中溶蚀孔隙发育,连通性较好。铸件面孔率分别为0.33%、2.14%,孔隙度21.95%、28.14%,渗透率为3.27毫达西、19.22毫达西,主要孔喉半径为0.04—0.4微米、0.4—4微米。

第二次生孔隙带：由中寒武统张夏组上部和上寒武统长山组下部溶蚀型储层组成。主要岩性是泥晶藻丛灰岩和亮晶含砂屑、生屑灰岩。岩石溶孔、溶解缝发育。铸体面孔率为0.02%、0.21%,孔隙度1.26%、3.96%,渗透率小于0.1毫达西、33.23毫达西,主要孔喉半径0.04—2.5微米、0.63—10微米。

第三次生孔隙带：由上寒武统凤山组上部孔隙—溶蚀型储层组成。岩性为细—中晶白云岩,岩石晶间孔、晶间溶孔发育,铸体面孔率为0.43%,孔隙度6.1%,渗透率4.05毫达西,主要孔喉半径0.4—4微米。

第四次生孔隙带：由下奥陶统亮甲山组顶部和中奥陶统下马家沟组一段底部裂隙—溶蚀型储层组成。主要岩性是细晶白云岩和粉晶含泥灰岩。晶间孔、溶孔、溶解缝发育,连通性较好。铸体面孔率分别为0.06%、0.97%,孔隙度为8.95%、10.88%,主要孔喉半径0.4—2.5微米、0.04—0.25微米。

第五次生孔隙带：由中奥陶统上马家沟组二段顶部裂隙—溶蚀型储层组成。岩性为亮晶砂屑灰岩,溶孔发育。铸体面孔率0.25%,孔隙度2.80%,主要孔喉半径0.04—0.16微米。

第六次生孔隙带：由中奥陶统峰峰组二段顶部裂隙—溶蚀型储层组成。岩性为亮晶砂屑含云灰岩。溶蚀孔隙以粒内溶孔为主。铸体面孔率为0.65%,孔隙度10.8%,主要孔喉半径为0.04—0.16微米。

以上六个次生孔隙带与古侵蚀面位置基本一致,其储集空间类型均以溶蚀孔隙和裂隙为主。溶蚀孔隙的发育受古侵蚀面的控制,其形成有以下几点规律:

1) 溶蚀与岩石成分有关。溶蚀孔隙大多发育在灰岩之中。

2) 溶蚀往往沿着裂隙、层理或缝合线进行,成带状或串珠状分布。说明溶蚀孔隙形成于构造裂隙之后。

3) 溶蚀孔隙形状不规则,边缘较圆滑,孔径较大,在粒屑灰岩中既溶蚀胶结物(或基质),又溶蚀粒屑。说明溶蚀孔隙的形成期为后生或表生期。

在这六个次生孔隙中,只要具备能保存油气的圈闭以及有充足的油源,就可能形成较理想的次生油气藏。

4. 本剖面各组段白云岩,除顶部由于风化淋滤形成部分溶蚀孔、缝、洞外,白云石化作用形成的晶间孔隙也具有一定的意义。据统计白云岩孔隙度一般有随白云石化强度而变化的规律。当白云石含量高于60%时,孔隙度随白云石含量增加而增加,在白云石含量达到70~80%时,平均孔隙度可达15%左右,当白云石含量再增加时,则孔隙度相

对变小(见图1)。

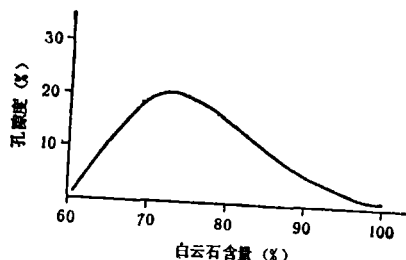


图1 白云石含量与孔隙度的关系图

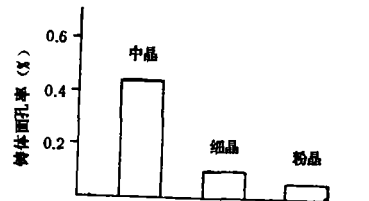


图2 白云石结晶孔程度与面孔率的关系图

白云岩的孔隙发育与重结晶作用也有一定的关系。铸体面孔率随白云石晶粒的增大而增大(粉晶0.03%、细晶0.1%、中晶0.43%)，见图2。

由于白云岩脆性比石灰岩大，因此，白云岩的裂缝相对较发育。所以白云石化作用往往引起储集性能的变化。

5.本剖面的储集层类型是以溶蚀孔、洞、缝为主要储集空间的裂隙—溶蚀型储集层。较有利的储集层段大多集中在六个次生孔隙带中。

(收稿日期：1984年2月30日)

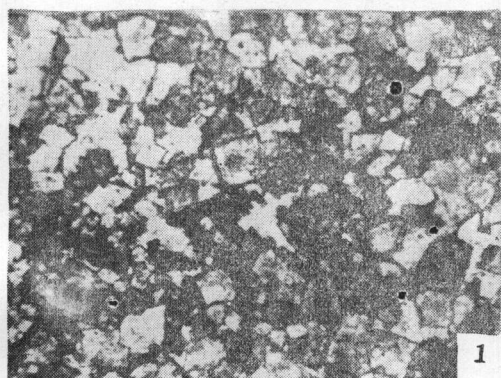
THE BEHAVIOR OF LOWER PALEOZOIC CARBONATE RESERVOIR IN LAIWU AREA SOUTHWESTERN SHANDONG

Zhou Chaoran Shao Junlin

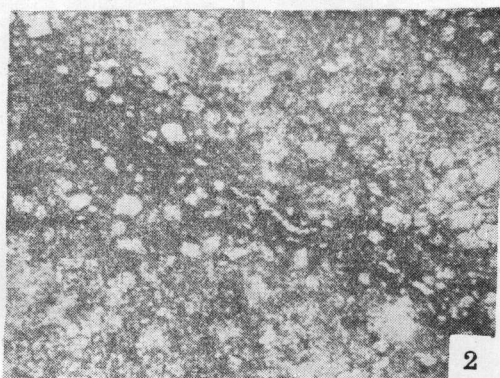
(North China Bureau of Petroleum Geology,
Ministry of Geology and Mineral Resources)

Abstract

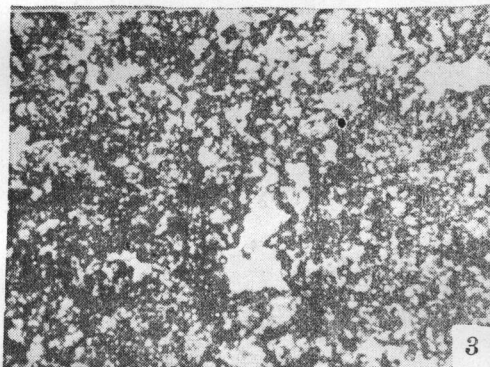
The behavior of Paleozoic carbonate reservoir in Laiwu area is roughly known by pore geometry analysis, thin section cast observation and conventional petro-physical properties determination. There are more than 20 layers with thickness of 150 m are favourable reservoir in this section. The types of the reservoir are; for Middle Cambrian, mainly dissolution vug type; for Ordovician, mainly fracture-dissolution vug type. There are 12 types of pore space: dissolution pore; intercrystalline pore; intercrystalline dissolution pore; intracrystalline dissolution pore; intergranular dissolution pore; intragranular dissolution pore; dolomite casting mould pore; structural fracture; interformational fracture; diagenetic fracture; dissolution trace, stylolite etc. Secondary pore zones with developed dissolution pore, cavern, and crack were often formed near paleoerosional surfaces. There are 6 secondary pore zones in this section.



E_1x (13层): 粉—细晶白云岩中的晶间孔、
晶间溶孔。 $\times 40$, 单偏光, 54号铸体片



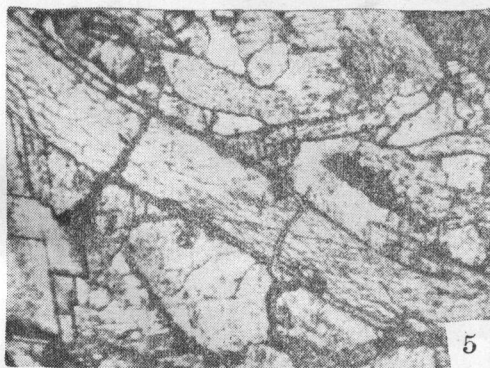
E_1m (22层): 纹层状灰云岩中的层间裂隙,
裂隙中白色部分为铸体。 $\times 40$,
单偏光, 55号铸体片



E_1m (28层): 粉晶含泥灰岩中的溶孔。
 $\times 40$, 单偏光, 57号铸体片



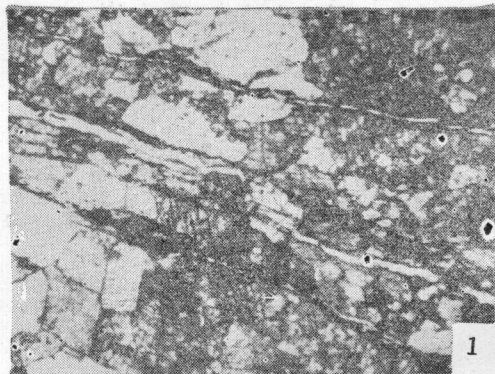
E_2z (56层): 亮晶生屑颗粒灰岩中的粒间溶
孔和溶解缝。 $\times 20$, 单偏光, 61号铸体片



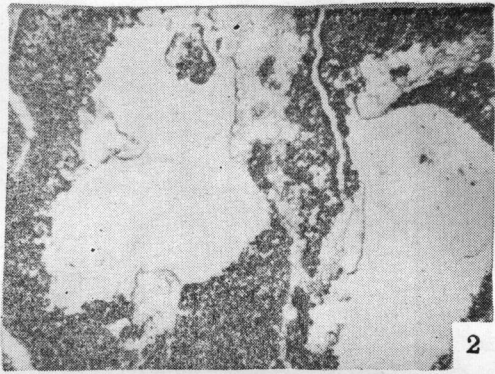
E_3c (94层): 亮晶含生屑、砂屑灰岩, 亮晶方
解石胶结物中的晶间孔、晶间溶孔及生物
介屑内溶孔。 $\times 40$, 单偏光, 68号铸体片



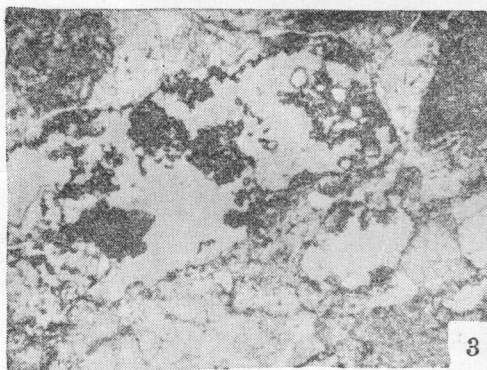
E_3f (129层): 细—中晶白云岩中的晶间孔、
晶间溶孔。 $\times 40$, 单偏光, 48号铸体片



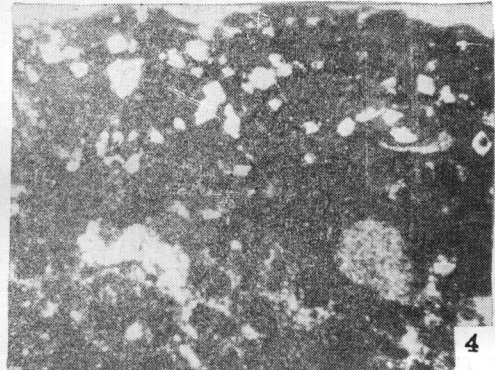
O_1y (2层): 粉一细晶白云岩中的构造裂隙,
裂隙中白色部分为铸体。 $\times 40$,
单偏光, 2号铸体片



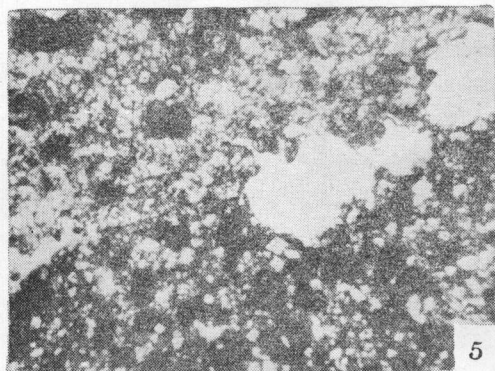
O_2x_1 (4层): 粉晶含泥灰岩中的溶孔。
 $\times 20$, 单偏光, 5号铸体片



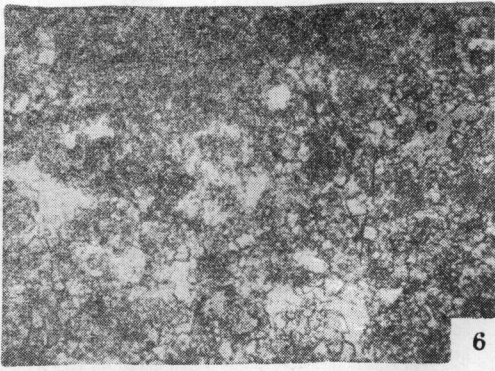
O_2x_1 (11层): 细晶泥质灰岩中的溶孔。
 $\times 20$, 单偏光, 7号铸体片



O_2s_2 (66层): 泥晶细砂屑灰岩中的白云石
铸模孔。 $\times 40$, 单偏光, 15号铸体片



O_2s_2 (100层): 豹斑亮晶砂屑灰岩中的溶孔。
 $\times 40$, 单偏光, 20号铸体片



O_2f_2 (154层): 亮晶砂屑含云灰岩中的粒内
溶孔。 $\times 40$, 单偏光